

PROCEDIMIENTO PARA EL BENEFICIO INTEGRAL DE MINERALES PIRITICOS	
Título: Lixiviación clorhídrica de pirrotita.	
Paquete núm.: 2.2	
Actividad: 2	
Fecha: 7 enero 1985	Documento núm.: 11

Autor	L. Alonso y F. Toribio
Supervisor	
Jefe Proyecto	F. Fernández

Distribuido a:

5 ejemplares ENADIMSA (PNAMPM), Sr. Riaño  
1 " Dirección Departamento  
1 " Jefe Proyecto  
1 " Documento de trabajo

50087

## LIXIVIACION CLORHIDRICA DE PIRROTITA

### 0. INTRODUCCION

El beneficio de sulfuros complejos, según el esquema previsto, consiste, básicamente, en la destilación del azufre lábil de la pirita y posterior lixiviación de la pirrotita obtenida en medio ácido. Como consecuencia de los resultados obtenidos en la experimentación realizada previamente, los ensayos se limitarán al empleo de la vía clorhídrica.

En el presente documento se recoge la experimentación realizada con diversos tipos de pirrotita, obtenidos a partir de mineral de Sotiel. La experimentación aquí recogida tiene como objetivos determinar las condiciones operativas que permitan:

- Obtener los máximos rendimientos en el proceso de lixiviación
- Acondicionar la lejía de lixiviación para su empleo en los siguientes procesos.
- Separación del cinc lixiviado
- Separación del plomo lixiviado

## I N D I C E

	<u>Págs.</u>
0. Introducción .....	1
1. Lixiviación de pirrotita	
1.1. Lixiviación de varios tipos de pirrotita	2
1.2. Influencia de la cantidad de ácido .....	4
1.3. Influencia del tiempo de contacto .....	6
1.4. Influencia del grado de molienda .....	6
1.5. Lixiviación bajo presión de sulfhídrico	9
1.6. Lavado de los residuos de lixiviación ..	12
1.7. Conclusiones .....	15.
2. Precipitación de cinc	
2.1. Influencia de la presión de SH <sub>2</sub> , acidez libre y cloruros .....	16
3. Neutralización .....	18
4. Cementación de plomo	
4.1. Cinética de la reacción de cementación	22
4.2. Rendimiento de cementación y consumo de cinc .....	22
APENDICE A-1	
APENDICE A-2	

## 1. LIXIVIACION DE PIRROTITA

### 1.1. Lixiviación de varios tipos de pirrotita

Dado que, en el esquema global propuesto, existe la posibilidad de utilizar, como fuente energética de la destilación del azufre, la combustión de una fracción de la pirita, se plantea la necesidad de establecer la influencia en el proceso de lixiviación de un posible grado variable de oxidación de la pirrotita obtenida. Un elevado grado de oxidación daría lugar a la aparición de  $Fe^{3+}$  en el material a tratar, con el consiguiente incremento en la producción de azufre elemental y disminución en la producción de  $SH_2$  durante la lixiviación.

Para estudiar este efecto se ha producido una serie de pirrotitas con un grado variable de oxidación, que abarcan desde la pirita incompletamente tratada hasta una pirrotita sometida a tostación ulterior en atmósfera de oxígeno.

En la fig. 1.1 se recogen los resultados analíticos más relevantes de los ensayos de lixiviación realizados con dichas pirrotitas, a la vista de los cuales cabe realizar las siguientes consideraciones:

- Como cabía esperar, la destilación incompleta de la pirita dá lugar al descenso en el rendimiento de lixiviación del hierro.

- El tratamiento de la pirrotita en atmósfera reductora (hidrógeno) no favorece la mejora de los rendimientos de lixiviación.

# LIXIVIACION DE VARIOS TIPOS DE PIRROTITA

Pirrotita: 100 gr. CLH = 18% : 470 cm<sup>3</sup> (40% exceso) T: 66 °C t: 2 h

MUESTRA	TIPO DE PIRROTITA	% EXTRACCION				RESIDUO FINAL (g)	Gr. AZUFRE	
		Fe	Zn	Pb	Cu		Obtenido	Máximo calculado
P-10	Restos de pirita	56	77	93	-	51	2,0	1,98
P-40	Pirrotita N <sub>2</sub> + H <sub>2</sub>	85	88	74	-	25,1	3,4	1,71
P-1	Pirrotita N <sub>2</sub>	90	39	95	0,2	21,2	2,5	2,83
P-30	Pirr. N <sub>2</sub> (calentamiento)	87	84	90	-	24,9	2,7	2,55
P-70	Pirr. N <sub>2</sub> (lento)	90	74	97	0,15	19,6	2,5	3,04
P-50	Pirrotita N <sub>2</sub> + O <sub>2</sub>	92	48	97	0,16	21,5	4,1	5,4
P-60	Pirr. N <sub>2</sub> + O <sub>2</sub> (doble O <sub>2</sub> )	76	39	98	0,10	33,5	5,5	5,3
P-1	100 gr P-1 + 14 gr Fe <sub>2</sub> O <sub>3</sub>	91	33	96	-	27	4,0	5,6
P-50	100 gr P-50 + 14 gr Fe <sub>2</sub> O <sub>3</sub>	43	25	98	-	72,2	4,4	8,2

Fig. 1.1

- El tratamiento de la pirrotita en atmósfera oxidante (oxígeno) afecta a los rendimientos de lixiviación en tanto mayor grado cuanto mayor es el grado de oxidación. Esta influencia se traduce en un descenso en las extracciones de hierro y cinc y un aumento en la producción de azufre elemental.

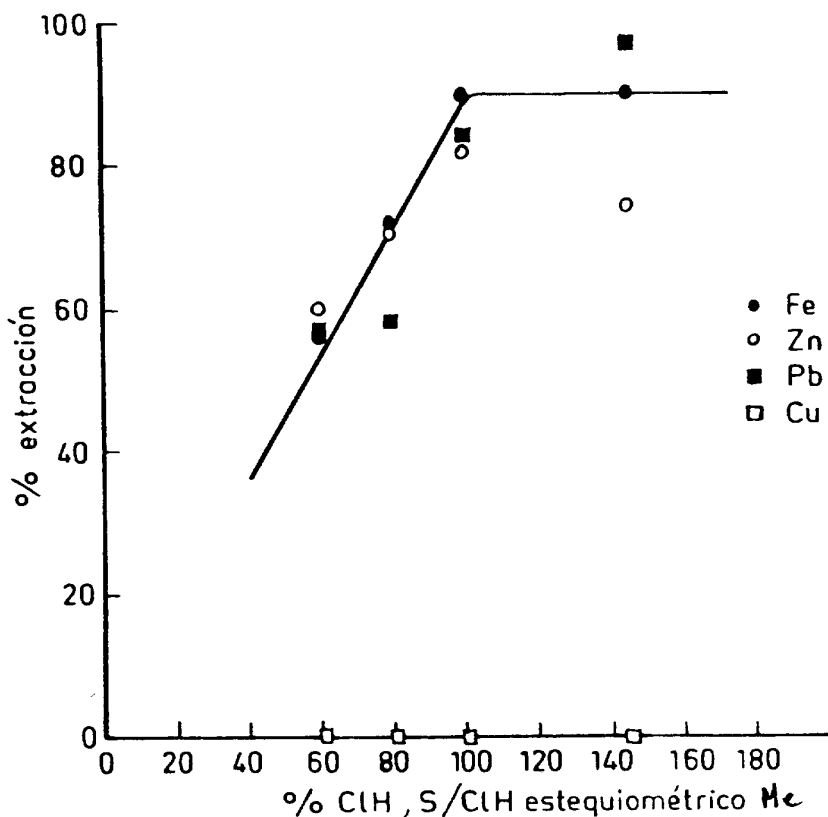
La aparición de azufre elemental parece ser el elemento bloqueante de la lixiviación. La generación de azufre elemental durante la lixiviación, está de acuerdo con la distribución estimada, en las pirrotitas obtenidas, de pirrotita, troilita, hierro férrico y resto de sulfuros de cinc, plomo y cobre.

### 1.2. Influencia de la cantidad del ácido

Dado que el problema fundamental planteado a la lixiviación consiste en la aparición de los distintos elementos contenidos en la pirrotita, se ha realizado una serie de ensayos encaminados a explorar una posible lixiviación diferencial de los distintos metales, en función del empleo de una cantidad de ácido diferente de la estequiométrica, referida como la cantidad de ácido teórica que reaccionaría con los metales de la pirrotita.

Los resultados obtenidos se encuentran reflejados en la figura 1.2, reflejándose en los mismos una relación prácticamente lineal entre el grado de extracción (para todos los metales) y la cantidad de ácido. Además, el grado de extracción no aumenta apreciablemente al aumentar la cantidad de ácido por encima de la estequiométrica, aún cuando, en esta situación, no se logra la lixiviación de la totalidad del contenido metálico de la pirrotita.

## LIXIVIACION DE PIRROTITA A PRESION ATMOSFERICA



## EFECTO DE LA CANTIDAD DE ACIDO

Pirrotita=100 gr CLH=18% T=66°C t=2 h

Vol CLH c.c.	molCLH 2xmolMe	% EXTRACCION				PESO RESIDUO	
		Fe	Zn	Pb	Cu	INERTE	S
470	1,4	90	74	97	0,13	19,6	2,5
325	1,0	90	82	84	0,04	21,7	2,6
260	0,8	72	71	58	0,05	36,7	0,9
200	0,6	56	60	57	0,03	50,6	0,6

Fig. 1.2. Efecto de la cantidad de ácido

### 1.3. Influencia del tiempo de contacto

De acuerdo con el mismo planteamiento de lixiviación diferencial de los metales, expresado en el apartado anterior, se ha realizado un seguimiento de la evolución de la lixiviación de los metales contenidos en la pirrotita en función del tiempo de contacto.

Los resultados obtenidos se encuentran reflejados en las figuras 1.3a y 1.3b en los que se representan los resultados analíticos obtenidos a partir de tomas de muestra del licor de lixiviación en caliente y, al margen los resultados analíticos a partir del residuo final lavado y seco.

De los resultados obtenidos, cabe concluir la imposibilidad práctica de lograr una lixiviación diferencial, pues en los primeros minutos de la reacción ésta alcanza una extensión muy próxima a los valores finales de equilibrio.

### 1.4. Influencia del grado de molienda

Pese a que la experimentación previamente realizada, había indicado una falta de influencia del tamaño de grano en los rendimientos de lixiviación, la obtención de resultados erráticos, en los valores de extracción de cinc, ha llevado a reconsiderar nuevamente esta influencia.

Para ello se han realizado lixivitaciones de una muestra de pirrotita en grano grueso ( $\emptyset$  aprox. 1-3 mm) tal como sale del horno de destilación, una segunda molida y tamizada a un tamaño de grano inferior a 200 mallas y una tercera granulometría obtenida a partir de la anterior, sometida durante mayor tiempo al proceso de molienda en un molino de anillos.



**CINETICA DE LIXIVIACION**  
**Triturado <200 mallas**

T=60 °C C(H)=18 % : 400 cm<sup>3</sup> (20 % exceso)

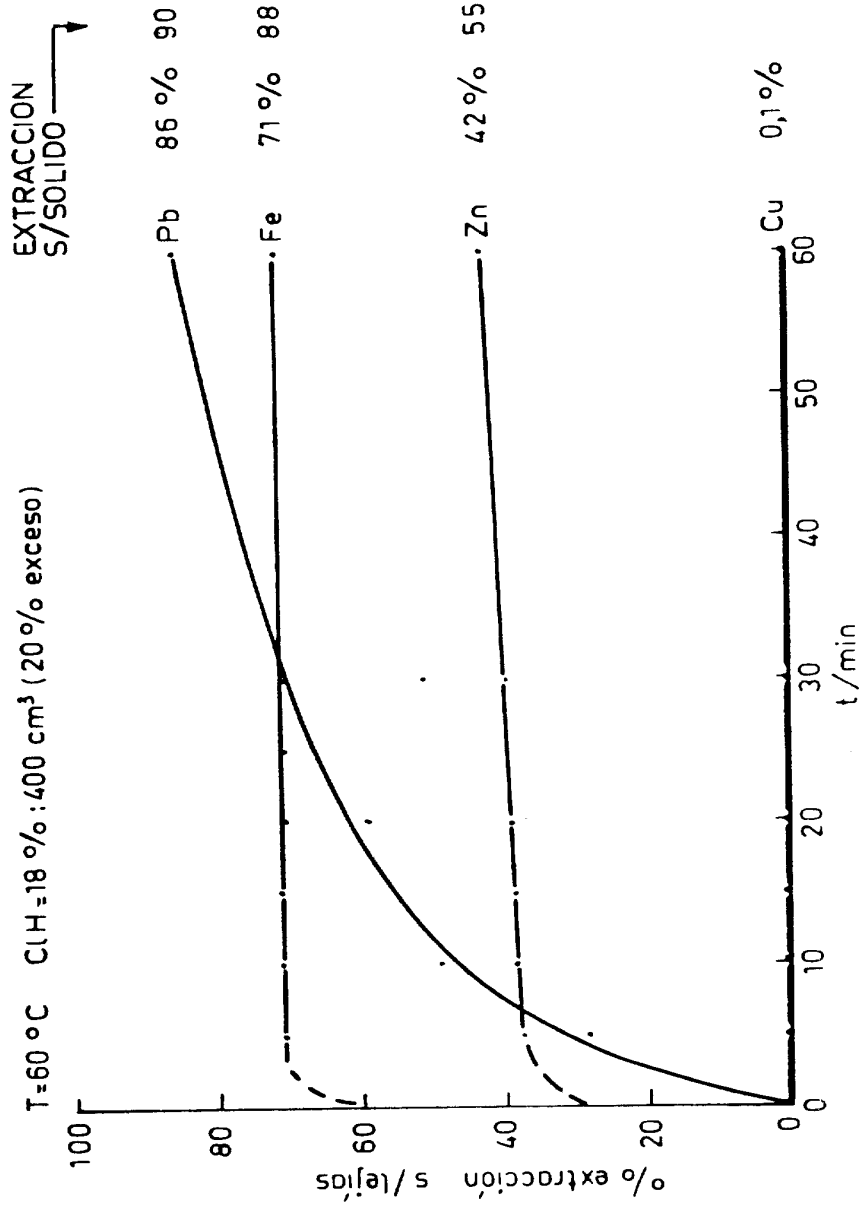


Fig. 1.3a. Influencia del tiempo de contacto

# CINETICA DE LIXIVIACION Triturado < 200 mallas

T=80 °C ClH=18 %:400 cm<sup>3</sup> (20 % exceso)

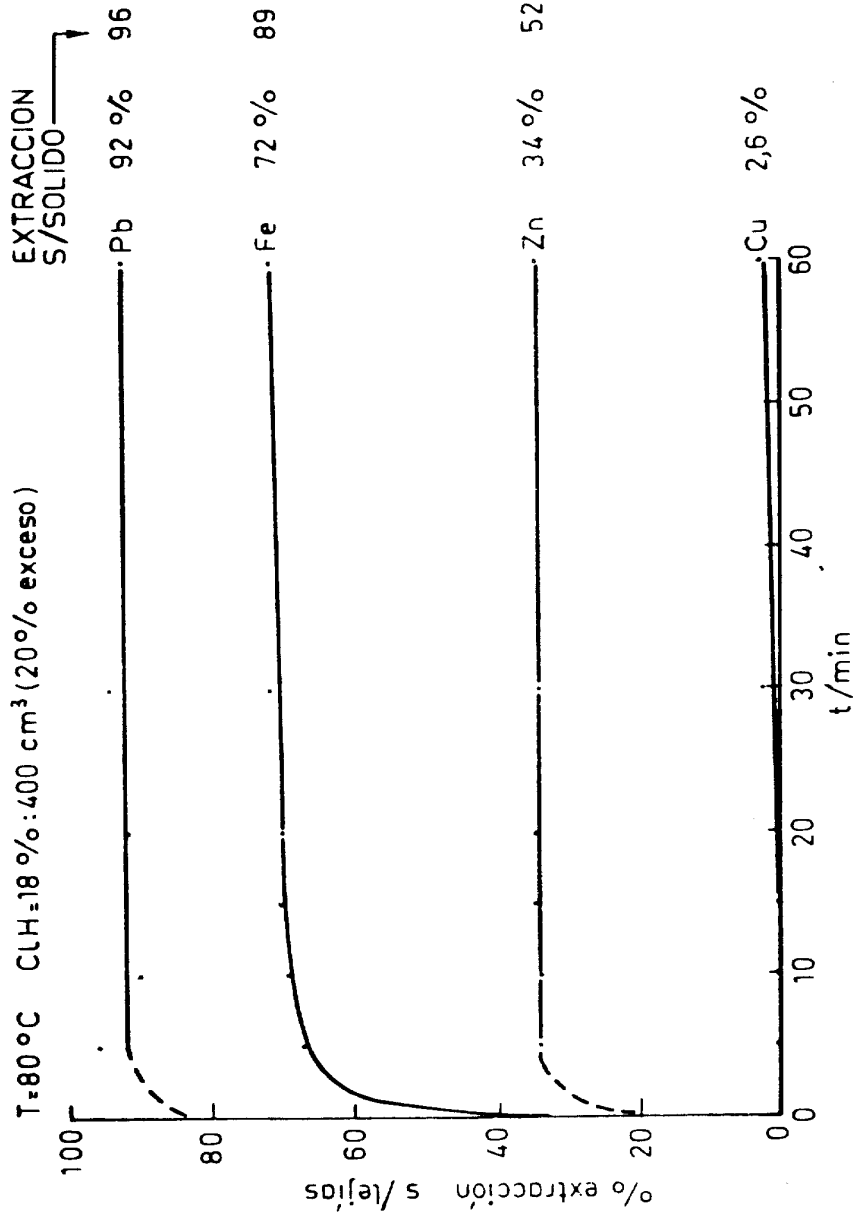


Fig. 1.3b. Influencia del tiempo de contacto

Los resultados obtenidos se reflejan en las figuras 1.4 a y b, en las que se observa que el único elemento que sufre modificaciones apreciables en el rendimiento de extracción, en función del grado de molienda, es el cinc. Esta variación explicaría los resultados variables anteriormente encontrados (la extracción de cinc sería función de la distribución de finos de las distintas muestras ensayadas). Por otra parte, se aprecia que pueden obtenerse lixiviaciones muy elevadas del cinc sin más que aumentar el grado de molienda. Queda por determinar la distribución granulométrica de las muestras ensayadas y los porcentajes de lixiviación en muestras de pirrotita de tamaño de grano uniforme, en los rangos que resulten de interés en base a dichas distribuciones.

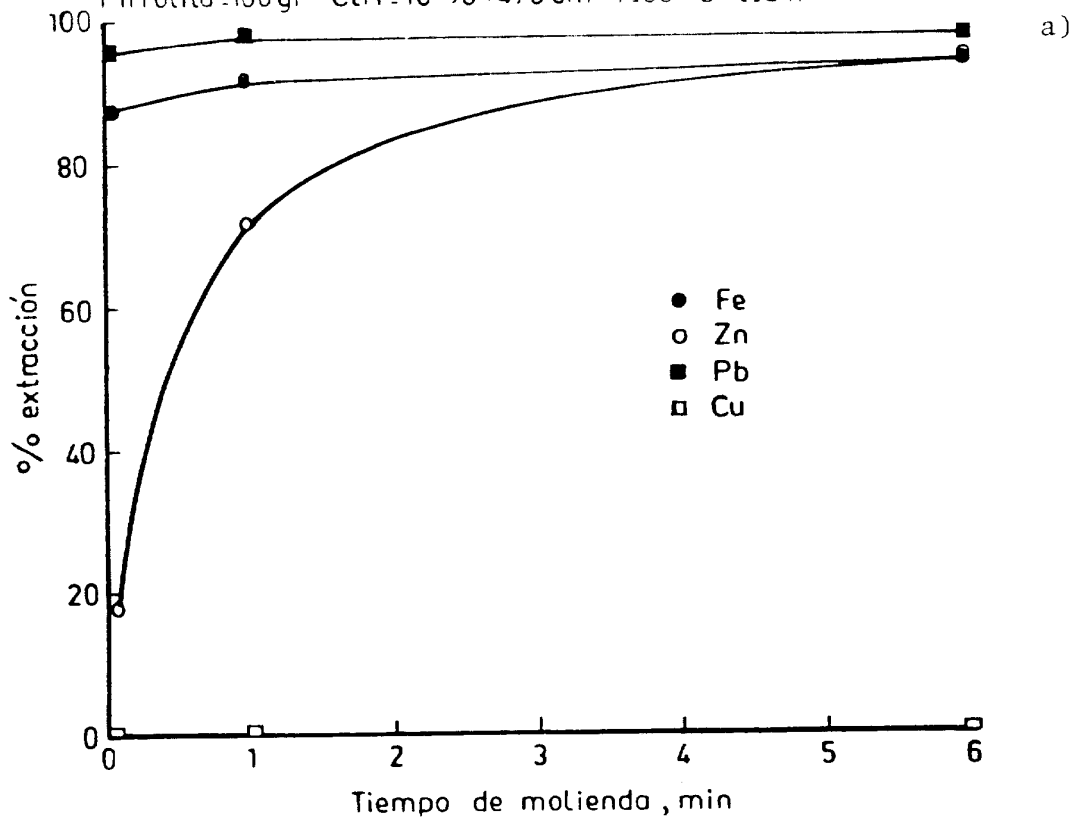
#### 1.5. Lixiviación bajo presión de sulfhídrico

Continuando con la serie de ensayos encaminados a lograr unas condiciones de lixiviación selectivos para un número reducido de los metales considerados, se han realizado ensayos de lixiviación clorhídrica bajo distintas presiones de sulfhídrico. Estos ensayos se han realizado con y sin exclusión del aire del reactor de lixiviación, no teniendo este factor influencia apreciable en las condiciones ensayadas. Los ensayos se han realizado con y sin exceso de ácido, encontrándose reflejados los resultados obtenidos en la figura 1.5.

El efecto esperado de lograr una depresión en la extracción del cinc, al aumentar la presión de sulfhídrico, ha sido negativo, pues la tendencia observada es, incluso, contraria a esta previsión. El resto de los metales no sufren apenas variaciones en el rango de presiones ensayado (1-15 kg/cm<sup>2</sup>).

# INFLUENCIA DE LA MOLIENDA EN LA LIXIVIACION

Pirrotita=100gr CLH=18%:470 cm<sup>3</sup> T=66°C t=2h



Pirrotita=100gr CLH=18%:470 cm<sup>3</sup> T=86°C t=2h  
3mm <200 mallas

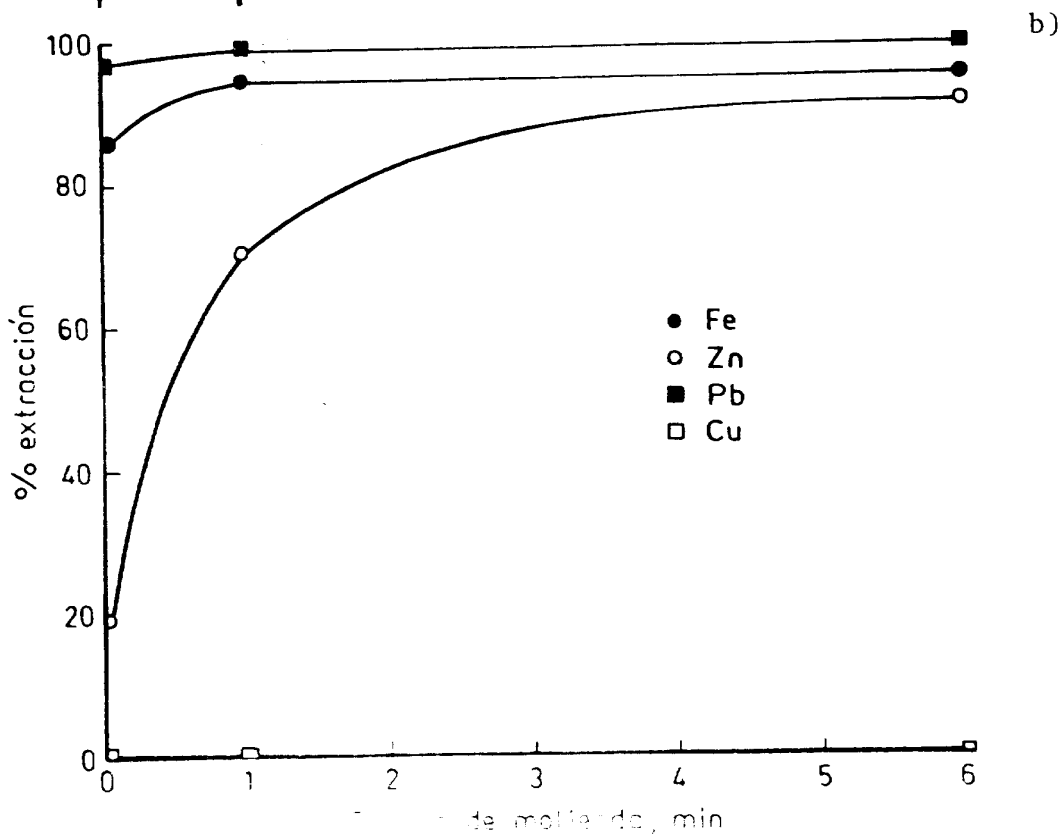
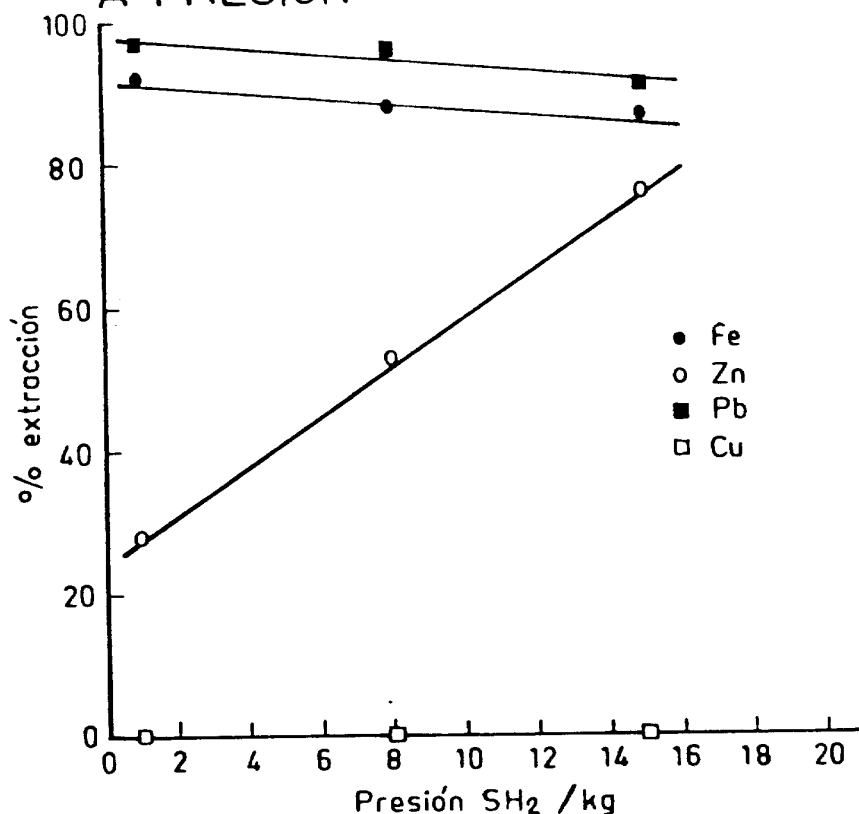


Fig. 1. Influencia de la molienda en la lixiviación de la pirrotita.

# LIXIVIACION DE PIRROTITA A PRESION



## A) EFECTO DE LA PRESION DE SH<sub>2</sub> (Acido en exceso)

Pirrotita=100 gr CLH=18 % .470 cm<sup>3</sup> T=66°C t=2 h

PRESION SH <sub>2</sub>	% EXTRACCION				PESO TOT. RESIDUO
	Fe	Zn	Pb	Cu	
1	92	28	97	0,23	22,3
8	88	53	96	0,16	25,8
15	87	76	91	0,12	24,6

$\frac{\text{mol CLH}}{2 \times \text{mol Me}} = 1,4$

## B) EFECTO DE LA PRESION DE SH<sub>2</sub> (Acido estequiométrico)

Pirrotita=100gr CLH=18 % .330 cm<sup>3</sup> T=66°C t=2 h

PRESION SH <sub>2</sub>	% EXTRACCION				PESO TOT. RESIDUO
	Fe	Zn	Pb	Cu	
1	86	87	88	0,04	22,8
15	88	82	83	0,06	22,4

$\frac{\text{mol CLH}}{2 \times \text{mol Me}} = 1,0$

Fig. 1.3. Lixiviación de pirrotita a diferentes presiones de SH<sub>2</sub>.

La ausencia de precipitación de sulfuro de cinc, se atribuye a la formación de complejos muy estables con los cloruros presentes en la lejía a concentraciones elevadas (mayores de 5 M).

#### 1.6. Lavado de los residuos de lixiviación

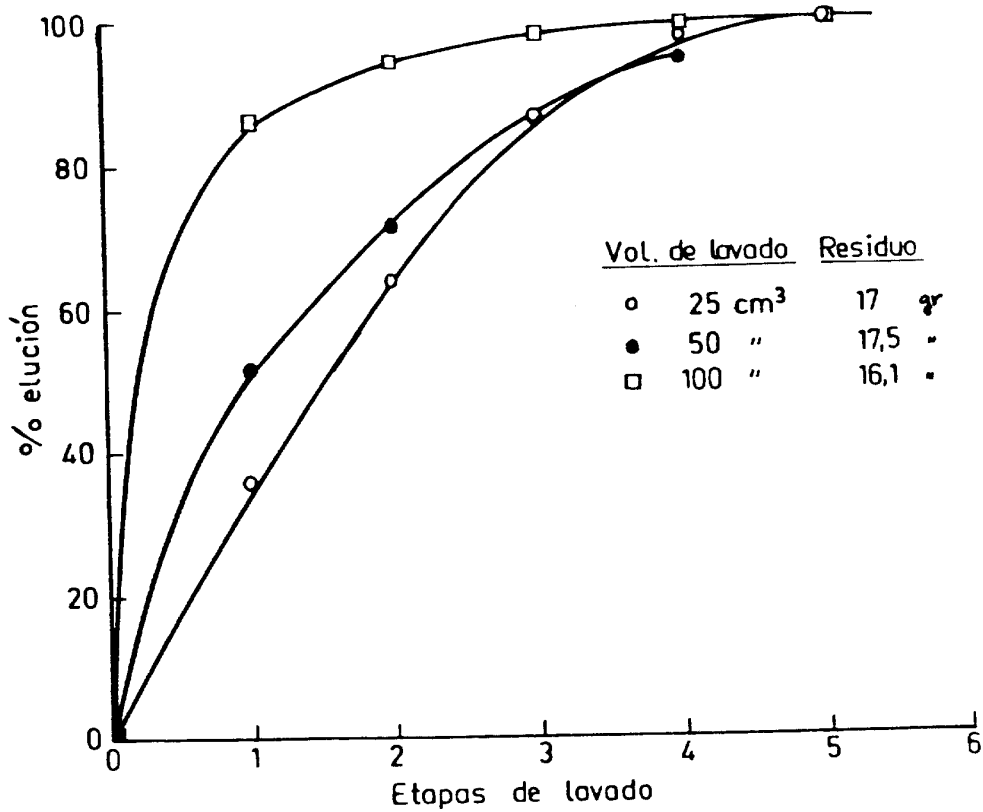
Se ha realizado una serie de ensayos encaminados a determinar los volúmenes de aguas de lavado necesarios para eliminar las lejías retenidas en los residuos de lixiviación.

Los resultados de estos ensayos se encuentran reflejados en las figuras 1.6 a y b referidos, respectivamente, a las eluciones de hierro y cinc. A partir de los mismos puede determinarse que la eliminación del 80-90 % de la lejía retenida en el residuo precisa una cantidad de aguas de lavado del orden de unos 6 litros por kilogramo de residuo a lavar.

Sin embargo, este valor debe de considerarse como un límite superior, pues los lavados se realizaban por adiciones sucesivas, sobre torta filtrada en embudo, tras la desaparición de la carga de líquido anterior y, dado que la torta se cuarteaba, aparecen caminos de filtración preferentes que disminuyen el rendimiento de las sucesivas etapas de lavado. Estos ensayos deben de completarse con los equivalentes en que el lavado se realice por repulpado del residuo, con lo cual obtendríamos el límite inferior del volumen de agua de lavado necesario.

# LAVADO DE LOS RESIDUOS DE LIXIVIACION

Lavado sobre torta en filtro (elución de Fe)

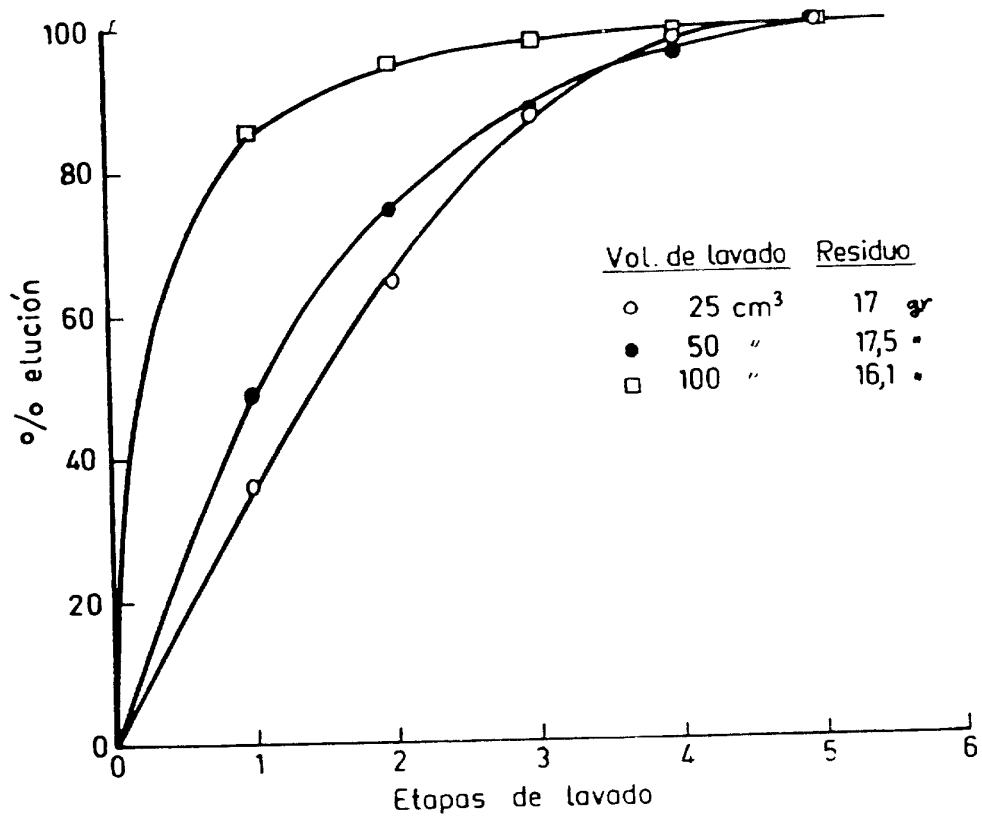


ETAPA	% ELUCION					
	25 cm <sup>3</sup>		50 cm <sup>3</sup>		100 cm <sup>3</sup>	
	Etapas	Total	Etapas	Total	Etapas	Total
1	35,4	35,4	51,5	51,5	86,3	86,3
2	28,0	63,4	19,6	71,1	8,3	94,6
3	23,1	86,5	15,1	86,2	3,6	98,2
4	10,9	97,4	8,2	94,4	1,0	99,2
5	2,7	100,0 (>98)	5,6	100,0	0,8	100,0

Fig. 1.6 a. Lavado de residuo, elución de hierro.

# LAVADO DE LOS RESIDUOS DE LIXIVIACION

Lavado sobre torta en filtro (elución de Zn)



ETAPA	% ELUCION					
	25 cm <sup>3</sup>		50 cm <sup>3</sup>		100 cm <sup>3</sup>	
	Etapa	Total	Etapa	Total	Etapa	Total
1	36,1	36,1	49,0	49,0	86,2	86,2
2	28,3	64,4	25,4	74,4	8,7	94,9
3	23,1	87,5	13,7	88,1	3,2	98,1
4	10,2	97,7	7,3	95,4	1,2	99,3
5	2,4	100,0 (>98)	4,6	100,0	0,7	100,0

Fig. 1.6 b. Lavado de residuo, elución de cinc.



### 1.7. Conclusiones

De los ensayos realizados, cabe concluir que la lixiviación admite un cierto grado de flexibilidad frente al exceso de oxidación de la pirrotita. Para subpirrotitas muy oxidadas la reacción se detiene, debido con gran probabilidad a la aparición de azufre elemental que bloquea la lixiviación. Este bloqueo aparece cuando se generan 4-5 gr de azufre por 100 gr de pirrotita atacada.

Los ensayos encaminados a lograr una lixiviación selectiva del menor número posible de metales, no han dado resultados satisfactorios, pareciendo más factible el tratar de obtener el mayor grado de extracción en hierro, cinc y plomo. Estos rendimientos elevados pueden lograrse tanto por lixiviación en contracorriente, con grados de molienda moderados en la pirrotita, como se demostró en ensayos anteriores, o bien trabajando en corrientes paralelas pero sometiendo la pirrotita a un elevado grado de molturación.

Los rendimientos alcanzados se sitúan en 88 % para hierro, 92 % para cinc y 90 % para plomo, operando con el ácido estequiométrico a los metales contenidos en la pirrotita a una concentración del ácido del 18 % y a 66°C, y con una relación sólido/líquido del 3/10.

La operación bajo presión de sulfhídrico no reporta ninguna ventaja adicional, por lo que debería descartarse en el esquema operativo actualmente considerado.

## 2. PRECIPITACION DE CINC

### 2.1. Influencia de la presión de SH<sub>2</sub>, acidez libre y cloruros

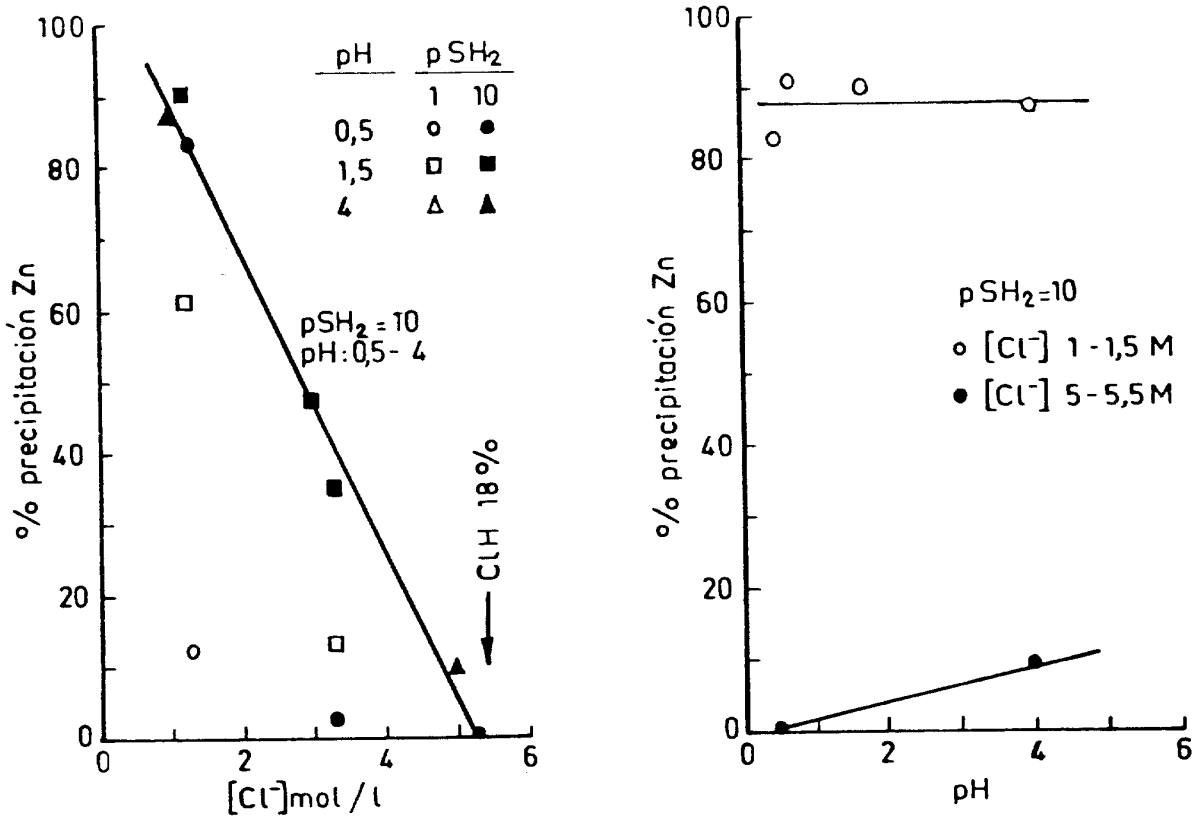
Dentro del esquema de actuaciones previsto, se han realizado ensayos encaminados a separar el cinc de la lejía efluente del proceso de lixiviación. Como reactivo se ha empleado sulfhídrico a presión.

Los ensayos se han realizado a 1 y 10 kg/cm<sup>2</sup> de presión, por considerar este un límite superior de la operación prevista en planta. Se han estudiado los efectos sobre la precipitación de la concentración de cloruros y de la acidez libre.

Los ensayos se realizaron sobre lejías sintéticas obtenidas por mezclas de cloruro de cinc, cloruro sódico y ácido clorhídrico, con una concentración de cinc de 10 gr/l, valor tipo de las lejías de lixiviación, concentraciones de cloruros de 1 a 5,3 M y valores de pH entre 0,5 y 4.

Los resultados obtenidos se encuentran tabulados y representados en la fig. 2.1. A la vista de los mismos, resulta evidente que el factor que presenta una mayor incidencia es el de concentración de cloruros. El aumento de la misma origina una caída rápida en los rendimientos de precipitación, siendo prácticamente nulos a concentraciones de cloruros superiores a 5 M, aún a la presión más alta ensayada de 10 kg/cm<sup>2</sup> de SH<sub>2</sub>. Este resultado explica que, en los ensayos de lixiviación bajo presión de sulfhídrico, no se lograra la precipitación del cinc, pues la concentración de ácido clorhídrico empleada (18 %) equivale a una concentración de cloruro superior a 5 M.

Fig.2.1. PRECIPITACION DE Zn EN LEJIAS SINTETICAS



EFFECTO DE LA PRESION DE SH<sub>2</sub> ACIDEZ Y CLORUROS

T=70°C t=1h Zn=10 gr/L (mezclas Cl<sub>2</sub>Zn, ClNa, ClH)

PRESION SH <sub>2</sub> (kg)	CLORUROS (mol/l)	pH	%PRECIP. Zn
10	1,0	~4	87
10	1,3	0,5	83
10	3,0	1,5	47
10	3,3	0,5	2,4
10	5	~4	9,5
10	5,3	0,5	0,3
1	1,2	1,7	61
10	1,2	1,7	90
1	3,3	1,7	13
10	3,3	1,7	35
1	1,3	0,7	12
10	1,3	0,7	31

El aumento de la presión de sulfhídrico aumenta los rendimientos de precipitación, pero este aumento es inferior a los efectos negativos causados por la presencia de cloruros.

La influencia de la acidez libre es también poco importante en el rango estudiado, pues en el mismo los resultados de precipitación se mantienen prácticamente constantes, siendo el responsable del valor de precipitación la concentración de cloruros.

De los resultados anteriormente expuestos, cabe concluir que la precipitación con sulfhídrico del cinc presente en las lejías de lixiviación, resulta inviable en las condiciones propuestas, al estar bloqueado el cinc en disolución por formación de complejos muy estables con los cloruros presentes en la lejía, debiendo abordarse otra técnica separativa para la recuperación del cinc de las lejías de lixiviación.

### 3. NEUTRALIZACION

La concentración del plomo contenido en una lejía de cloruros debe realizarse a pH superior a 1. Una lejía más ácida que la correspondiente a este pH consume más cinc del necesario para la cementación estequiométrica del plomo. La cementación de lejías con pH superior a 2,5 produce precipitación de oxiclورو de cinc y/o hidrólisis de algunos cationes contenidos en las mismas lo que no es deseable.

La lejía de lixiviación debe tener por todo lo dicho, un pH comprendido entre 1 y 2,5. En una operación industrial puede suceder que por circunstancias anormales el pH baje

sensiblemente de 1, en cuyo caso debe corregirse con un agente neutralizante. Para poder corregir estos casos se realizaron los ensayos que a continuación se describen:

Lejías ácidas procedentes de la lixiviación de pirrotita, referenciadas como L-0 y L-1, cuya composición se refleja en la Tabla 3-I, se neutralizaron con chatarra de hierro o pirrotita. Los ensayos se realizaron para los dos agentes neutralizantes citados en las mismas condiciones. La neutralización con chatarra de hierro no presenta problemas y el consumo de chatarra hasta alcanzar  $\text{pH} = 1$  se corresponde con la cantidad estequiométrica de ácido neutralizado.

La neutralización de pirrotita se realizó en caliente, 80-90°C y agitación. El consumo de pirrotita para neutralizar la lejía varió entre 130 y 200 gr por mol de ácido, dependiendo de las características de la pirrotita empleada, de la temperatura y del tiempo de neutralización. El tiempo de neutralización fue de una hora, pero se observó que después de media hora de la adición de pirrotita el pH no varió. Las lejías en las que el pH final no subió de 2,5 filtraron con relativa facilidad y el filtrado fue una disolución transparente de color verde intenso. Las lejías en las que el pH final subió de 2,5 la filtración del sólido residual fue difícil y los líquidos filtrados turbios.

En la tabla 3-II se reflejan los resultados de la neutralización de las lejías L-0 y L-1 con diferentes cantidades de pirrotita. Del análisis de los resultados que aparecen en esta lejía se observa que cuando el pH final es bajo (0,1, ensayos A-19 y A-21) el plomo de la pirrotita de neutralización se lixivía. Cuando el pH es 1,5 (ensayo A-21) el plomo de la pirrotita no se lixivía y el plomo de la lejía se separa, en parte, con el residuo. Esto parece confir-

mar lo dicho en la bibliografía sobre la influencia del pH en la solubilización del plomo y cinc en la lixiviación ácida de pirrotitas.

TABLA 3-1

COMPOSICION DE LEJIAS PROCEDENTES DE LA  
LIXIVIACION CLORHIDRICA DE PIRROTITAS

Referencia de lejía	Fe (g/l)	Zn (g/l)	Pb (g/l)	Cu (g/l)	HCl (g/l)	pH
L-0	64,52	3,44	2,23	0,056	55	-0,18
L-N (L-0 neutralizada)	100	5,94	2,40	0,0011	0,59	1,70
L-1 (Neutralizada)	122,76	8,17	4,0	0,0007	0,15	2,36

TABLA 3-II

## NEUTRALIZACION CON PIRROTITA DE LEJIAS ACIDAS DE LIXIVIACION

Ref. del ensayo	Etapa	Lejía	Vol. c.c.	Temp. ° C	Tiempo hr	Pirrotita, ref.	Peso sólido, g	Composición sólidos, %				pH
								Fe	Zn	Pb	Cu	
A-19	Inicial	L-0	500	70	1	P-1	20	49	4,11	3,14	0,49	0
	Final											
A-20	Inicial	L-0	500	70	2	P-1	20	49	4,11	3,14	0,49	0
	Final											
A-21	Inicial	L-0	3000	70	1	P-1	500	49	4,11	3,14	0,49	0
	Final											
A-25	Inicial	L-0	500	60	-	P-1	220	-	-	-	-	0
	Final											
A-30	Inicial	L-0	500	80	1	P-70	110	-	-	-	-	0,2
	Final											
A-31	Inicial	L-0	500	80	-	P-70	120	48,38	3,87	2,35	0,48	0
	Final											
A-32	Inicial	L-0	3000	80	-	P-P	690	-	-	-	-	0
	Final											
A-33	Inicial	L-0	3000	80	-	P-P	600	-	-	-	-	0
	Final											
A-34	Inicial	L-0	1930	80	-	P-P	400	-	-	-	-	0
	Final											
A-35	Inicial	L-1	3000	80	-	P-P	850	-	-	-	-	0
	Final											
B-57-B	Inicial	B-57	310	66	1,60	P-80	30	-	-	-	-	0,01
	Final											

#### 4. CEMENTACION DE PLOMO

##### 4.1. Cinética de la reacción de cementación

Para determinar la velocidad de reacción de la cementación de plomo con cinc, un volumen de 500 ml de lejía procedente de la lixiviación de pirrotitas con ácido clorhídrico, neutralizadas a pH 1,6, se cementó con 0.5 g de cinc metálico. Se tomaron muestras de la lejía cementada a los 5, 10, 15, 30 y 50 minutos de comenzar la operación. La composición de la lejía inicial y las condiciones de operación son las que se indican en la figura 4-1. Del análisis de dicha figura se deduce que la cementación con cinc, en las condiciones señaladas, pasa por un máximo, comenzando a continuación la redisolución de plomo. Este máximo se alcanza a los 15-20 minutos de comenzar la cementación.

##### 4.2. Rendimiento de cementación y consumo de cinc

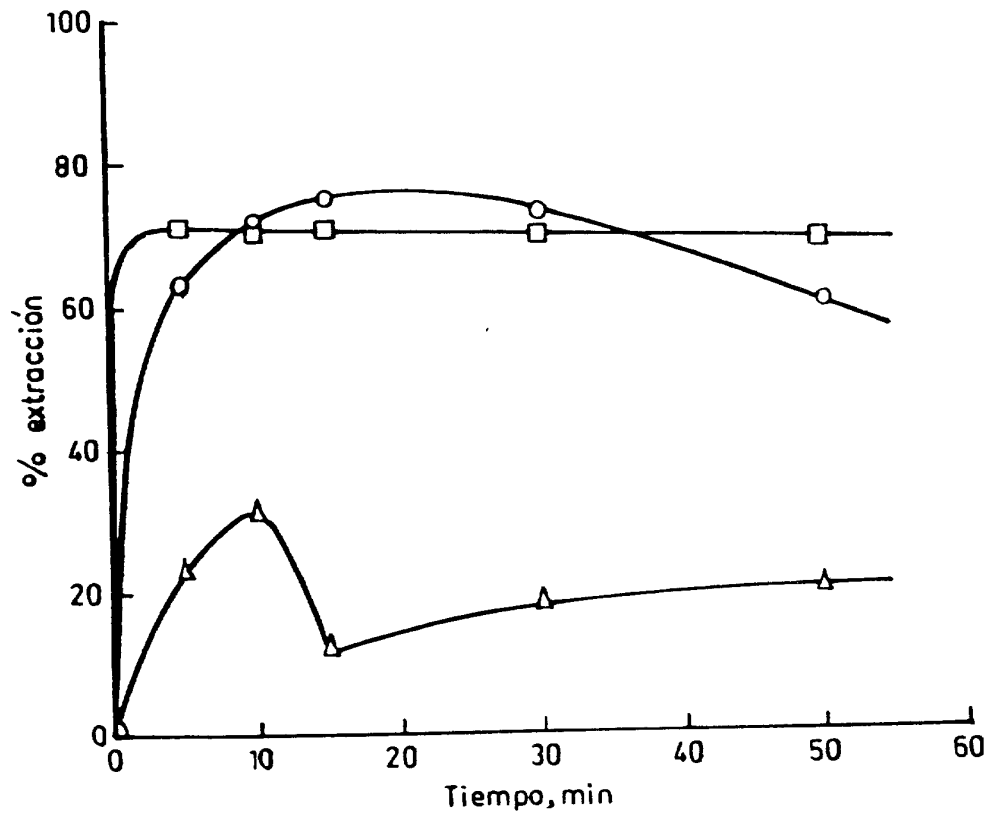
Se trataron con polvo de cinc cantidades diferentes de lejía procedente de la lixiviación clorhídrica de pirrotitas, con el fin de determinar la influencia del pH inicial sobre los rendimientos de cementación y consumo de cinc. Las condiciones de operación fueron 55° de temperatura, agitación 950 rpm y 15 minutos de residencia por cada adición de cinc. Los resultados obtenidos son los que se reflejan en la Tabla 4.2.I.

En los ensayos A-21 y A-30 se observa que los rendimientos de cementación son muy bajos cuando el pH es menor de 0,2. En casos como estos, para obtener rendimientos de cementación superiores al 30 % es necesario adicionar cantidades de cinc notablemente superiores a la cantidad estequiométrica necesaria para cementar el plomo contenido en la lejía.



## EFFECTO DEL TIEMPO DE CEMENTACION EN LA EXTRACCION DE PLOMO

500 ml solución pH=1,6 t=55°C agitación=800 r.p.m.



CINC AÑADIDO (g)	COMPOSICION INICIAL (g/l)			
	Pb	Fe	Zn	Cu
△ 0,25	1,40	32,20	1,72	0,02
○ 0,50	2,24	64,52	3,44	0,05
□ 1,50	7,69	64,52	3,44	0,05

Esto puede observarse claramente en el ensayo A-26 de dicha Tabla.

Los ensayos A-22 y A-23 se realizaron con lejías sintéticas preparadas con un contenido en los metales más importantes análogo al de las lejías de lixiviación ácida de la pirrotita. Se añadió ácido clorhídrico hasta que el pH fue 1. El cinc añadido fue sensiblemente mayor que el correspondiente a la cantidad estequiométrica necesaria para cementar el plomo contenido en la lejía. No se indicó el contenido de cinc en el plomo cementado.

TABLA 4.2.1

Ensayo	Etapa	Vol. c.c.	pH	Temp. °C	Plomo en lejía		Cinc es tequiom. (g)	nº de cemen tac.	Plomo cemen tado, %	Consumo Zn respecto esteq., %	Observaciones
					(g/l)	(g)					
A-21	Inicial	500	0,1	55	5,88	2,94	0,92	2	9,5	217	Lejía L-0 neutralizada con pi rrotita y sosa hasta pH=0,25
	Final	470	1,7		5,66	5,66					
A-22	Inicial	500	1,0	55	3,0	1,5	0,47	6	98	317	Lejía sintética (3 g/l Pb; 4 g/l Zn; 3,6 g/l HCl)
	Final	330	1,35		0,09	0,029					
A-23	Inicial	500	1,0	55	3,0	1,5	0,4	2	73	375	Lejía sintética (3 g/l Pb; 4 g/l Zn; 3,6 g/l HCl; 66 g/l Fe)
	Final	460	0,9		0,87	0,4					
A-24	Inicial	500	1,5	55	5,20	2,6	0,81	3	96,5	370	Lejía L-0 ajustado el pH con NaOH a 1,5
	Final	400	2,5		0,22	0,09					
A-25	Inicial	300	1,3	55	6,14	1,84	0,58	3	56,5	86	Se ajusta con HCl el pH inicial
		275	2,0		2,93	0,80					
	Final	210	3,0		0,03	0,006					
A-26	Inicial	500	0,4	35	3,83	2,97	0,92	11	97,62	2228	Lejía L-0
	Final	485	2,8		0,14	0,07					
A-28	Inicial	385	2,6	55	3,08	1,18	0,37	3	1,7	27	Lejía L-0 neutralizada con 110 g pirrotita p.4
		375	-		3,11	1,16					
	Final	355	-		0,13	0,04					
A-29	Inicial	430	1,6	55	2,24	0,96	0,30	2	61,5	166	Lejía L-0 neutralizada con 115 g de pirrotita p-70
	Final	410	2,8		0,41	0,17					
A-30	Inicial	435	0,4	55	2,06	0,90	0,28	2	28	142	Lejía L-0
	Final	415	0,4		1,27	0,33					

APENDICE A-1

Hojas de operación de los ensayos de lixiviación









































**BENEFICIO INTEGRAL DE SULFUROS COMPLEJOS**

PROCESO: LIXIVIACION  
 Ref. ensayo B-31 Fecha 20-XI

Vaso abierto, T=80°C, t=1h, agitación magnética 10%  
 Veris bonos de muestra de suspensión homogénea

**SOLIDOS**

Pirrotita P70 < 200 mallas

Referencia:	Peso gr	Fe		Zn		Pb		Cu					
		%	gr	%	gr	%	gr	%	gr				
Inicial	100	48,38		3,87		2,35		0,48					
Final	26,3	20,29	5,34	7,04	1,85	2,35	0,09	1,45	0,38				
Rendimiento			88,97		52,16		96,08		20,55				

**LE JIAS**

Referencia:	Vol cm <sup>3</sup>	Fe		Zn		Pb		Cu		OxH			
		gr/l	gr	gr/l	gr	gr/l	gr	gr/l	gr	%			
Inicial	100										18		
Final	260												
Rendimiento													
B-31	A	393	82,97	32,57	3,37	1,32	5,78	2,26	0,0013	0,0005			
	B	376	89,14	33,52	3,52	1,32	5,62	2,11	0,0010	0,0004			
	C	359	94,28	33,85	3,75	1,35	2,00	0,72	0,0016	0,0006			
	D	342	89,36	33,81	3,96	1,35	6,31	1,16	0,0020	0,0008			



















**BENEFICIO INTEGRAL DE SULFUROS COMPLEJOS**

PROCESO: LIXIVIACION  
 Ref. ensayo B-41 Fecha 28-XI

*lixiviación vidrio, T=66°C, t=2h, agitación 45%*

SOLIDOS		Duro lita P70 < 200 mallas									
Referencia:	Peso gr	Fe		Zn		Pb		Cu		S	
		%	gr	%	gr	%	gr	%	gr		gr
B-41-A	Inicial	100	48,38		3,87		2,35		0,48		
	Final	51,1									
	Rendimiento										
B-41-B Lixiv S <sub>2</sub> C	Inicial	51,1									
	Final	50,6	42,25	21,38	3,07	1,55	2,00	1,01	1,00	0,51	9,6
				55,81		59,86		56,94		15,42	

LEJIAS													
Referencia:	Vol cm <sup>3</sup>	Fe		Zn		Pb		Cu		OH		PH	
		gr/l	gr	gr/l	gr	gr/l	gr	gr/l	gr	%			
	Inicial	200									18		
	Final	182	132,17	21,05	12,42	2,26	7,38	1,34	0,0007	0,0001			20,4 mínimo
	Rendimiento			49,72		58,41		57,6		0,03			



SULFUROS COMPLEJOS

Ref ensayo 3-15 Fecha 28-XI

Concentración media T: 66°C t: 2h, y humedad 100%

SOLIDOS		Pirrotita P70 < 200 mallas									
Referencia:	Peso gr	Fe		Zn		Pb		Cu		S	
		%	gr	%	gr	%	gr	%	gr		gr
B-42-A	Inicial	100	48,38		3,87		2,35		0,48		
	Final	17,8									
	Rendimiento										
B-42-B Extrac S <sub>2</sub> C	Final.	17,7	21,90	3,88	7,25	1,28	0,23	0,04	2,43	0,43	2
				91,99		66,84			98,27	10,39	Pérdida 95-1

LEJIAS		470 cm <sup>3</sup> OH 18% + 800 cm <sup>3</sup> benceno									
Referencia:	Vol cm <sup>3</sup>	Fe		Zn		Pb		Cu		OH	
		gr/l	gr	gr/l	gr	gr/l	gr	gr/l	gr	%	
	Inicial	470									18
	Final	445	96,55	42,96	5,75	2,56	6,15	2,74	0,0014	0,0006	
	Rendimiento			88,91		66,12		116,46		0,13	



BENEFICIO INTEGRAL DE SULFUROS COMPLEJOS

PROCESO: LIXIVIACION  
 Ref. ensayo B-46 Fecha 4-XI

Lixiviación *in situ*, T=86°C, t=2h, agitación 75%

SOLIDOS		P.80 < 200 mallas									
Referencia:	Peso gr	Fe		Zn		Pb		Cu		S	
		%	gr	%	gr	%	gr	%	gr		gr
B-46-A	Inicial	100	49,13		4,24		2,93		0,51		
	Final	170									
	Rendimiento										
B-46-B Extrac S <sub>2</sub> C	Final	14,2	19,32	2,74	8,75	1,24	0,16	0,02	3,35	0,48	26
				94,42		70,70		99,22		673	

LE JIAS													
Referencia:	Vol cm <sup>3</sup>	Fe		Zn		Pb		Cu		CMH			
		gr/l	gr	gr/l	gr	gr/l	gr	gr/l	gr	%			
	Inicial	470								18			
	Final	450	9454	4254	6,67	3,00	6,00	2,70	0,0015	0,0007			
	Rendimiento			8659		70,79		92,15		0,13	lavado Zn	lavado Fe	
B-46-A	Lavado 1	25	17,23	0,4443	1,17	0,0293	1,075		0,0054		36,06	36,1	35,4
B-46-B	Lavado 2	25	14,06	0,3515	0,92	0,0230	0,835		0,0062		28,31	64,4	28,0
B-46-C	Lavado 3	25	11,60	0,2900	0,75	0,0188	0,672		0,0082		23,14	87,51	23,1
B-46-D	Lavado 4	25	5,47	0,1368	0,33	0,0083	0,42		0,0062		10,22	97,7	10,9
B-46-E	Lavado 5	25	1,35	0,0338	0,08	0,0020	0,13		0,0074		2,46	100,2	2,7
			Σ	12553		0,0813							100



**BENEFICIO INTEGRAL DE SULFUROS COMPLEJOS**

PROCESO: LIXIVIACION  
 Ref. ensayo B-45 Fecha 3-XI

lixiviación vidrio, T=66°C, t=2h, aptitud 75%

SOLIDOS		P-80 sin triturar (1-4 mm)									
Referencia:	Peso gr	Fe		Zn		Pb		Cu		S	
		%	gr	%	gr	%	gr	%	gr		gr
B-45-A	Inicial	100	49.13		4.24		2.93		0.51		
	Final	28.7									
	Rendimiento										
B-45-B Extacc S <sub>2</sub>		28.7									
	Final	26.8	22.92	6.14	12.99	3.48	0.47	0.13	1.80	0.48	26
				87.50		17.89		95.70		5.41	

LE JIAS											
Referencia:	Vol cm <sup>3</sup>	Fe		Zn		Pb		Cu		CUM	
		gr/l	gr	gr/l	gr	gr/l	gr	gr/l	gr	%	
B-45	Inicial	470								18	
	Final	400	85.73		1.50		6.13		0.030		
	Rendimiento			(90)		(16)		(100)		(0.1)	
	Lavado	250									
			gr/l	% tot.	gr/l	% tot.	gr/l	% tot.	gr/l	% tot.	
1h	B-45-A	463	84.74	81.10	1.33	16.63	6.00	118.0	0.0011	0.11	85% Fe
2h	B-45-B	446	87.34	80.52	1.43	16.48	6.14	116.5	0.0015	0.14	16% Zn
3h	B-45-C	428	86.31	74.36	1.45	16.04	6.00	122.3	0.0011	0.10	100% Pb
4h	B-45-D	410	87.83	74.43	1.44	16.04	6.14	122.3	0.0007	0.06	0.1% Cu









APENDICE A-2

Hojas de operación de los ensayos de precipitación  
de cinc









BENEFICIO INTEGRAL DE  
SULFUROS COMPLEJOS

PROCESO: REFINACION Zn  
Ref. ensayo B-23 Fecha 14-XI

Autoclave Ti c/vaso vidrio, agitacion 20%, t=1h, T=70±10°C  
pSO<sub>2</sub> = 10 kg

SOLIDOS

Referencia:	Peso gr	Fe		Zn		Pb		Cu				
		%	gr	%	gr	%	gr	%	gr			
Inicial												
Final	(1,5)			58,52	(0,88)							
Rendimiento				(27,87)								

LEJIAS

300 cm<sup>3</sup> lejia B + 1,7 cm<sup>3</sup> AH 18% (~0,03M AH)

Referencia:	Vol cm <sup>3</sup>	Fe		Zn		Pb		Cu				
		gr/l	gr	gr/l	gr	gr/l	gr	gr/l	gr			
Inicial	302			10,43	3,15							
Final	300			5,60	1,68							
Rendimiento				46,66								

(100)

**BENEFICIO INTEGRAL DE SULFUROS COMPLEJOS**

PROCESO: PRECIPITACION  
 Ref. ensayo B-24 Fecha 15-XI

*Autoclave Ti de vaso vidrio, agitacion 20%, t=1h, T=70±10°C  
 p<sub>SU<sub>2</sub></sub> = 10 kg*

**SOLIDOS**

Referencia:		Peso gr	Fe		Zn		Pb		Cu	
			%	gr	%	gr	%	gr	%	gr
B-24	Inicial									
	Final	(3,0)			65,28	(1,96)				
	Rendimiento				(62,57)					
<p><i>100 cm<sup>3</sup> de lejía se tratan con 55 cm<sup>3</sup> de NaOH 1N aparece un ppdo blanco (B-24-B)</i></p>										
B-24-B	Final	0,5			52,34					

**LEJIAS**

*300 cm<sup>3</sup> lejía A + 17 cm<sup>3</sup> CH 18% (NO<sub>3</sub>BH CH)*

Referencia:		Vol cm <sup>3</sup>	Fe		Zn		Pb		Cu	
			gr/l	gr	gr/l	gr	gr/l	gr	gr/l	gr
lejía B-24	Inicial	317			9,86	3,13				
	Final *	330			1,64	0,54				
	Rendimiento				82,74					
<p><i>(*) Aparece precipitado blanco y azufre elemental en lejía y sobre las bordes superiores de vaso y reactor</i></p>										

BENEFICIO INTEGRAL DE PROCESO: PRECIPITACION Zn  
 SULFUROS COMPLEJOS | Ref. ensayo B-25 Fecha 16-XI

*Ensambrer vidrio, borboteo de  $SiH_2$  a presión atmosférica*

SOLIDOS

Referencia:		Peso gr	Fe		Zn		Pb		Cu					
			%	gr	%	gr	%	gr	%	gr				
B-25	Inicial													
	Final	(4.6)			61.33	(2.82)								
	Rendimiento				(51.85)									

LE JIAS

*500 cm<sup>3</sup> de lejía D*

Referencia:		Vol cm <sup>3</sup>	Fe		Zn		Pb		Cu					
			gr/l	gr	gr/l	gr	gr/l	gr	gr/l	gr				
lejía	Inicial	500			10.89	5.44								
B-25	Final	500			4.25	2.12								
	Rendimiento				61.03									

*Aparición rápida de ppdo al iniciar  
 el borboteo*









BENEFICIO INTEGRAL DE PROCESO: RECUPERACION DE  
 SULFUROS COMPLEJOS Ref ensayo B-29 Fecha 16-VI

Electrolisis de sulfato de  $S_{12}$  a corriente alterna

SOLIDOS											
Referencia:	Peso gr	Fe		Zn		Pb		Cu			
		%	gr	%	gr	%	gr	%	gr		
	Inicial										
	Final										
	Rendimiento										

LEJIAS

500 m<sup>3</sup> lejia D + 17,5 m<sup>3</sup> Cu 18%

Referencia:	Vol cm <sup>3</sup>	Fe		Zn		Pb		Cu			
		gr/l	gr	gr/l	gr	gr/l	gr	gr/l	gr		
	Inicial	57,5		10,51	5,44						
	Final	520		9,20 <sup>(*)</sup>	4,78						
	Rendimiento			12,13							

(\*) lejia tomada, sin filtrar

